

$r_i(x_1, x_2, x_3)$ и $\vec{k}(x_1, x_2, x_3)$ вместе с производными до второго порядка включительно. Тогда из теоремы вложения Соболева [5] следует достаточная малость норм $\|\psi_i\|_{C(\Omega_D)}$ ($i = 1, 2$) и $\|\vec{v}\|_{C(V)}$ в пространствах непрерывных функций. Этим доказано такое утверждение.

Теорема. Если функции $g_i(x_1, x_2, x_3)$, $\vec{e}(x_1, x_2, x_3)$ вместе с производными до третьего порядка и $\rho_0(x_1, x_2, x_3, t)$, $r_i(x_1, x_2, x_3)$ и $\vec{k}(x_1, x_2, x_3)$ вместе с производными до второго порядка включительно изменяются достаточно мало, то решение задачи (1) — (5) устойчиво.

Замечание. С дополнительными условиями, найденными в работе [2], последняя теорема верна и для кусочно-гладких оболочек, взаимодействующих с акустическими средами.

СПИСОК ЛИТЕРАТУРЫ

1. Костенко В. Г. Единственность решения задачи о взаимодействии упругой оболочки с акустическими средами. — Мат. методы и физ.-мех. поля, 1978, вып. 8, с. 110—113.
2. Костенко В. Г., Кулинич Я. М. Єдиність розв'язку задачі про взаємодію кусково-гладкої пружної оболонки з акустичними середовищами. — Вісн. Львів. ун-ту. Сер. механ.-мат., 1978, вип. 13, с. 13—15.
3. Михлин С. Г. Вариационные методы в математической физике. — М.: Гостехиздат, 1957. — 476 с.
4. Нигул У. К., Метсавээр Я. А., Векслер Н. Д., Кутсер М. Э. Эхо-сигналы от упругих объектов. — Таллин: Изд-во АН ЭССР, 1974. — 345 с.
5. Соболев С. Л. Некоторые применения функционального анализа в математической физике. — Л.: Изд-во Ленингр. ун-та, 1950. — 255 с.

Львовский университет

Поступила в редколлегию
09.11.77.

УДК 534.231 : 532

Р. И. Мокрик, Ю. А. Пырьев

ЭНЕРГИЯ ВОЛН, ВОЗНИКАЮЩИХ В РЕЗУЛЬТАТЕ ВЗАИМОДЕЙСТВИЯ УПРУГОГО СЛОЯ С АКУСТИЧЕСКИМ ПОЛУПРОСТРАНСТВОМ ПРИ ДЕЙСТВИИ ЛОКАЛЬНО РАСПРЕДЕЛЕННОЙ ПЕРИОДИЧЕСКОЙ НАГРУЗКИ

Рассмотрим жидкое акустическое полупространство $x_3 < 0$, ограниченное упругим слоем толщины h . Считаем, что при $x_3 > h$ упругие процессы отсутствуют. Геометрия задачи иллюстрируется рис. 1. Пусть ρ_1 — плотность упругого слоя, λ_1, μ_1 — коэффициенты Ляме, определяющие его упругие свойства, ρ_2 — плотность акустической жидкости, $\beta = \lambda_2^{-1}$ — коэффициент, определяющий сжимаемость жидкости. На верхней плоскости слоя отсутствуют касательные и нормальные напряжения. На границе раздела сред в области Ω (см. рис. 1) действует нормальная периодическая нагрузка. В условиях установившихся колебаний определяется энергия волнового процесса в упругом слое и прилегающей жидкости.

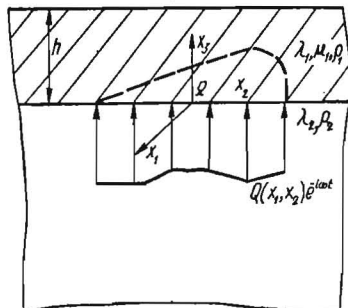


Рис. 1

Задача описывается уравнениями Ляме [3]

$$(\lambda_n + 2\mu_n) \text{grad div } \vec{u}^n - \mu_n \text{rot rot } \vec{u}^n - \rho_n \frac{\partial^2 \vec{u}^n}{\partial t^2} = 0, \quad (1)$$

$$n = 1, 2, \quad \mu_2 = 0$$

и граничными условиями

$$\begin{aligned} &\text{при } x_3 = h \quad \sigma_{13}^1 = 0, \quad \sigma_{23}^1 = 0, \quad \sigma_{31}^1 = 0; \\ &\text{при } x_3 = 0 \quad \sigma_{33}^2 - \sigma_{33}^1 = \begin{cases} 0, & (x_1, x_2) \in \bar{\Omega}, \\ Q(x_1, x_2) e^{-i\omega t}, & (x_1, x_2) \in \Omega, \end{cases} \\ &\sigma_{13}^1 = 0, \quad \sigma_{23}^1 = 0, \quad u_3^1 = u_3^2, \end{aligned} \quad (2)$$

где $\vec{u}^n (u_1^n, u_2^n, u_3^n)$, $n = 1, 2$ — векторы перемещений соответственно в упругом слое и в акустической жидкости; σ_{mj}^n — компоненты тензора напряжений; $m, j = 1, 2, 3$; $i^2 = -1$. Считаем, что волновые поля ограничены на бесконечности.

Компоненты вектора $\vec{S}^n (S_1^n, S_2^n, S_3^n)$, определяющего плотность потока энергии в среде, в которой распространяются упругие волны, [1] будут таковы:

$$S_m^n = -\operatorname{Re}(\dot{u}_i^n) \operatorname{Re}(\sigma_{im}^n), \quad \dot{u}_i^n = \frac{\partial u_i^n}{\partial t}. \quad (3)$$

Для установившихся колебаний мощность какого-либо процесса удобно характеризовать ее средним значением за период. Усредняя равенства (3) по периоду, для компонент вектора средней интенсивности акустических волн $\langle S_m^n \rangle$ или, что то же, для компонент средней скорости потока акустической энергии, проходящей через единицу площади, перпендикулярной к направлению распространения волны, получаем представление

$$\langle S_m^n \rangle = -\frac{1}{4} [\lambda_n (\dot{u}_m^{n*} u_{ij}^n + \dot{u}_m^n u_{ij}^{n*}) + 2\mu_n (\dot{u}_i^{n*} u_{mi}^n + \dot{u}_i^n u_{mi}^{n*})], \quad (4)$$

где

$$u_{mi}^n = \frac{1}{2} \left(\frac{\partial u_m^n}{\partial x_i} + \frac{\partial u_i^n}{\partial x_m} \right)$$

(звездочка здесь обозначает комплексно-сопряженную величину).

Далее рассмотрим симметричную относительно фиксированной нормали к границе слоя (оси x_3) нагрузку, заданную в круге радиуса r_0 . Для такой нагрузки найдено волновое поле перемещений в упругом слое и в акустической жидкости. При решении задачи использованы принцип предельного поглощения [4] и метод перевала [1].

Для $\sigma_0(r - r_0) \gg 1$ средняя плотность потока энергии (4) в упругом слое $\langle S_r^1 \rangle$ и в акустическом полупространстве $\langle S_r^2 \rangle$ в направлении r' представляется в виде

$$\langle S_r^n \rangle = I_n(\kappa, z) \frac{K}{r} [R_Q(\sigma_0 r_0)]^2, \quad \sigma_0(r - r_0) \gg 1, \quad n = 1, 2,$$

$$I_n(\kappa, z) = I_n(\sigma, \kappa, z)|_{\sigma=\sigma_0}, \quad K = (4\pi h^4 c_{t\rho_2})^{-1} P^2, \quad (5)$$

$$I_1(\sigma, \kappa, z) = \lambda \kappa \sigma^2 \{G_1 G_3 + G_4 [2\sigma^2 G_4 + G_2 (1 - 2\tau^2) \kappa^2]\} \left[\frac{\partial}{\partial \sigma} \Delta(\sigma) \right]^{-2}, \quad 0 \leq z \leq 1,$$

$$I_2(\sigma, \kappa, z) = \sigma^2 \kappa^{-1} [A(\sigma) \exp(\alpha z)]^2 \left[\frac{\partial}{\partial \sigma} \Delta(\sigma) \right]^{-2}, \quad -\infty < z \leq 0,$$

где

$$\begin{aligned} G_1 &= 2\beta^2 \alpha k (S_2 + C_2); & G_2 &= \alpha k C_4; \\ G_3 &= \alpha (2\sigma^2 S_2 + k C_2); & G_4 &= \alpha (2\gamma \beta S_1 + k C_1); \\ S_1 &= q_{12} \operatorname{ch}(\gamma z) - q_{11} \operatorname{sh}(\gamma z); & S_2 &= q_{12} \operatorname{sh}(\gamma z) - q_{11} \operatorname{ch}(\gamma z); \\ C_1 &= q_{11} \operatorname{sh}(\beta z) + q_{21} \operatorname{ch}(\beta z); & C_2 &= q_{11} \operatorname{ch}(\beta z) + q_{21} \operatorname{sh}(\beta z); \\ q_{12} &= k^2 (\operatorname{ch} \gamma \operatorname{ch} \beta - 1) - 4\gamma \beta \sigma^2 \operatorname{sh} \beta \operatorname{sh} \beta; \end{aligned}$$

$$\begin{aligned}
q_{21} &= 4\gamma\beta\sigma^2 (\operatorname{ch} \gamma \operatorname{ch} \beta - 1) - k^2 \operatorname{sh} \gamma \operatorname{sh} \beta; \\
q_{11} &= k^2 \operatorname{sh} \gamma \operatorname{ch} \beta - 4\gamma\beta\sigma^2 \operatorname{sh} \beta \operatorname{ch} \gamma; \\
\Delta(\sigma) &= A(\sigma, \kappa) + \alpha B(\sigma, \kappa); \\
A(\sigma, \kappa) &= \lambda \kappa^4 \beta (k^2 \operatorname{sh} \gamma \operatorname{ch} \beta - 4\sigma^2 \gamma \beta \operatorname{sh} \beta \operatorname{ch} \gamma); \\
B(\sigma, \kappa) &= 8\gamma\beta\sigma^2 k^2 (1 - \operatorname{ch} \gamma \operatorname{ch} \beta) + (k^4 + 16\gamma^2 \beta^3 \sigma^2) \operatorname{sh} \gamma \operatorname{sh} \beta; \\
\gamma &= \sqrt{\sigma^2 - \kappa^2}; \quad \alpha = \sqrt{\sigma^2 - \tau_1^2 \kappa^2}; \\
\beta &= \sqrt{\sigma^2 - \tau^2 \kappa^2}; \quad k = 2\sigma^2 - \kappa^2; \\
c_l &= \sqrt{(\lambda_1 + 2\mu_1)/\rho_1}; \quad c_t = \sqrt{\mu_1/\rho_1}; \quad c = \sqrt{\lambda_2/\rho_2}; \\
\tau &= c_t/c; \quad \tau_1 = c_l/c; \quad \lambda = \rho_2/\rho_1; \quad \kappa = h\omega/c; \\
r' &= \sqrt{x_1^2 + x_2^2}; \quad r = r'/h; \quad r_0 = r'_0/h; \quad z = x_3/h;
\end{aligned}$$

σ_0 — единственный положительный вещественный корень дисперсионного уравнения для рассматриваемой системы сред [2]

$$\Delta(\sigma, \kappa) = 0, \quad \sigma_0 = k_0 h; \quad (6)$$

k_0 — волновое число поверхностной волны;

$$P = 2\pi h^2 \int_0^{r_0} Q(r) r dr, \quad R_Q(\sigma_0 r_0) = 2\pi h^2 P^{-1} \int_0^{r_0} Q(r) r J_0(\sigma_0 r) dr;$$

$R_Q(\sigma_0 r_0)$ — спектральная функция источника; $J_0(t)$ — функция Бесселя первого рода. Решение (5) получено для случая более «быстрого» слоя, т. е. $c_l > c_t > c$ или, что то же, $\tau < 1 < \tau_1$.

Приведем вид спектральной функции для некоторых типов нагрузки. Для случая действия сосредоточенной силы P

$$R_Q(\sigma_0 r_0) = 1,$$

в случае $Q(r) = Q_0[H(r) - H(r - r_0)]$ ($H(r)$ — функция Хевисайда)

$$R_Q(\sigma_0 r_0) = 2\pi h^2 P^{-1} Q_0 r_0^2 \frac{J_1(\sigma_0 r_0)}{\sigma_0 r_0},$$

в случае $Q(r) = 2Q_0(1 - r^2/r_0^2)[H(r) - H(r - r_0)]$

$$R_Q(\sigma_0 r_0) = 2\pi h^2 P^{-1} 4Q_0 r_0^2 \frac{J_2(\sigma_0 r_0)}{\sigma_0^2 r_0^2}.$$

Как следует из решения (5), средняя плотность потока энергии от локально-распределенной нагрузки равна произведению средней плотности потока энергии при действии сосредоточенной силы на квадрат спектральной функции источника и убывает по r обратно пропорционально расстоянию.

Вследствие того что дисперсионное уравнение (6) имеет единственный положительный вещественный корень, из общего решения данной задачи, которое здесь не приводится из-за его громоздкости, следует, что вдали от источника возбуждения в упругом слое и прилегающей к нему жидкости будет распространяться один тип интерференционных волн, которые при достаточно низких частотах ($\kappa \ll 1$), как и в работе [2], переходят в волны изгибного типа, а при достаточно высоких частотах ($\kappa > \kappa_0$) — в волны релеевского типа. Поэтому в данной работе приведены расчеты для средних значений параметра $0 < \kappa < \kappa_0$.

На рис. 2 представлено распределение средней плотности потока энергии, которое характеризуется функцией $I_n(\kappa, z)$, по толщине слоя и в акустической жидкости, прилегающей к слою. Сплошные линии 1 и 2 иллюстрируют поведение функций $I_1(\kappa, z)$ и $I_2(\kappa, z)$ при $\kappa = 0,7$ ($\tau^2 = 0,293$, $\tau_1^2 = 4,652$, $\lambda = 0,132$, $\kappa_0 = 0,9$, что соответствует случаю сред сталь — вода),

а штриховые линии 1 и 2 — при $\kappa = 0,2$. Горизонтальный масштаб для сплошной линии приведен на верхней координатной линии, для штриховой — на нижней. Из приведенных расчетов видно, что поток энергии в основном сосредоточен в окрестностях границ слоя, причем в самом слое в окрестности свободной границы он больше, чем в окрестности границы раздела сред. Из сравнения результатов, представленных сплошными и штриховыми линиями, следует, что в первом случае поток энергии на границе упругого слоя меньше, чем на границе акустической среды, а во втором случае — наоборот. Отсюда следует, что существует характерное значение пара-

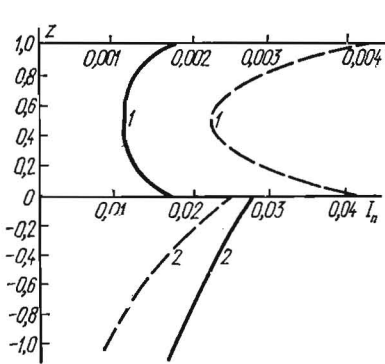


Рис. 2

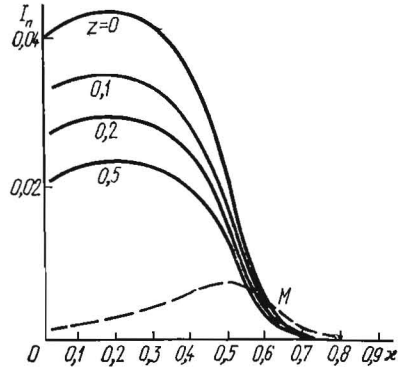


Рис. 3

метра κ^* (для данного случая $\kappa^* = 0,656$), при котором потоки энергии в слое и окружающей акустической среде на границе раздела сред равны (рис. 3).

На рис. 3 представлена зависимость средней плотности потока энергии от параметра κ . Сплошные линии соответствуют средней плотности потока энергии в слое для различных значений z , а штриховая линия — в жидкости на границе раздела сред. Из приведенных графиков видно, что максимальное значение средней плотности потока энергии в упругом слое достигается при меньших значениях параметра κ , чем в акустической жидкости. В точке M средние плотности потока энергии в упругом слое и в акустической жидкости на границе раздела сред равны.

СПИСОК ЛИТЕРАТУРЫ

1. Бреховских Л. М. Волны в слоистых средах. — М.: Наука, 1973. — 343 с.
2. Красильников В. М. Некоторые свойства волновых процессов в жидком полупространстве, ограниченном упругим слоем. — Пробл. дифракции и распространения волн, 1965, вып. 4, с. 101—124.
3. Морс Ф. М., Фешбах Г. Методы теоретической физики. Т. 1. — М.: Изд-во иностр. лит., 1958. — 930 с.
4. Свейшиков А. Г. Принцип излучения. — Докл. АН СССР, 1950, 73, № 5, с. 917—920.

Львовский университет
Институт прикладных проблем
механики и математики АН УССР

Поступила в редколлегию
20.01.78

УДК 539.377

Р. Н. Швец

О РЕШЕНИИ КВАЗИСТАТИЧЕСКОЙ ТЕМПЕРАТУРНОЙ ЗАДАЧИ ДЛЯ ОБОЛОЧКИ С ИНОРОДНЫМ ВКЛЮЧЕНИЕМ

Вопрос распределения напряжений в оболочках с инородными включениями (отверстие, шайба) с учетом конвективного теплообмена с поверхностями исследован мало. В работах [7, 9, 10] получены статические решения за-